



提高船舶蒸汽动力 裝置功率的經驗

J. H. 伯雷依 編著
鄒秀風 譯
叶鳴高 校

人民交通出版社

本書闡明苏联北海海运局的船員們在提高蒸汽动力裝置使用效率方面的經驗，並總結了關於調節蒸汽主机，使有可能不需要特殊費用而大大地提高船舶蒸汽动力裝置功率及其工作經濟性的許多試驗和研究的效果。

本書可供船舶輪機員、船舶機務工作人員以及修造船企業設計局的工作者參考，也可以作為航海學校學生的參考書。

提高船舶蒸汽动力裝置功率的經驗

Л. Н. БЕЛЫЙ

ОПЫТ ПОВЫШЕНИЯ МОЩНОСТИ СУДОВЫХ ПАРОСИЛОВЫХ УСТАНОВОК

ИЗДАТЕЛЬСТВО
«МОРСКОЙ ТРАНСПОРТ»
МОСКВА—1958

本書根據蘇聯海運出版社1958年莫斯科俄文版本譯出

鄒秀風 譯 叶鳴高 校

*

人民交通出版社出版

(北京安定門外和平里)

北京市書刊出版業營業許可證出字第〇〇六號

新华书店发行

人民交通出版社印刷厂印刷

*

1958年12月北京第一版 1958年12月北京第一次印刷

开本：787×1092 $\frac{1}{16}$ 印張：2 $\frac{1}{2}$ 張

全書：58,000字 印數：1—1100冊

統一書號：15044·6140

定价（10）：0.32元



軍事工程學院

212705

目 錄

| | |
|-------------------------------------|----|
| 緒論 | 2 |
| 第一章 用合理調節的方法提高蒸汽機功率 | 4 |
| § 1. 蒸汽機的熱損失及其相對指示效率 | 4 |
| § 2. 蒸汽機中各項損失的相互影響 | 8 |
| § 3. 高壓汽缸以後各汽缸的充汽度對於機器總功率及其工作經濟性的影响 | 9 |
| § 4. 各汽缸間功率的分配及其對蒸汽機工作效率的影響 | 22 |
| § 5. 蒸汽機最大功率的調節 | 24 |
| § 6. 將蒸汽機調節到最大功率和最高經濟性時其工作的穩定性 | 28 |
| 第二章 北海海運局的先進船舶在提高主蒸汽機功率方面的工作經驗 | 30 |
| § 7. 蒸汽機輪“斯捷潘·哈爾圖林”號的工作經驗 | 30 |
| § 8. “沃爾納”型拖輪的工作經驗 | 33 |
| § 9. 蒸汽機輪“莫洛托夫”號的工作經驗 | 43 |
| § 10. 蒸汽機輪“H.巴烏曼”號的工作經驗 | 45 |
| § 11. 蒸汽機輪“真理”號的工作經驗 | 46 |
| § 12. 蒸汽機輪“卡尔”號的工作經驗 | 51 |
| § 13. 蒸汽機輪“列夫·托爾斯泰”號的工作經驗 | 53 |
| § 14. 蒸汽機輪“額爾齊斯”號的工作經驗 | 56 |
| § 15. 北海海運局所屬船隊的工作總結 | 62 |
| 附錄：具有切斷活塞體積水表的構造及工作原理 | 68 |

目 錄

| | |
|-------------------------------------|----|
| 緒論 | 2 |
| 第一章 用合理調節的方法提高蒸汽机功率 | 4 |
| § 1. 蒸汽机的热损失及其相对指示效率 | 4 |
| § 2. 蒸汽机中各项损失的相互影响 | 8 |
| § 3. 高压汽缸以后各汽缸的充汽度对于机器总功率及其工作經濟性的影响 | 9 |
| § 4. 各汽缸間功率的分配及其对蒸汽机工作效率的影响 | 22 |
| § 5. 蒸汽机最大功率的調節 | 24 |
| § 6. 将蒸汽机調節到最大功率和最高經濟性时其工作的稳定性 | 28 |
| 第二章 北海海运局的先进船舶在提高主蒸汽机功率方面的工作經驗 | 30 |
| § 7. 蒸汽机輪“斯捷潘·哈尔图林”号的工作經驗 | 30 |
| § 8. “沃尔納”型拖輪的工作經驗 | 38 |
| § 9. 蒸汽机輪“莫洛托夫”号的工作經驗 | 43 |
| § 10. 蒸汽机輪“H.巴烏曼”号的工作經驗 | 45 |
| § 11. 蒸汽机輪“真理”号的工作經驗 | 46 |
| § 12. 蒸汽机輪“卡尔”号的工作經驗 | 51 |
| § 13. 蒸汽机輪“叶列茨”号的工作經驗 | 53 |
| § 14. 蒸汽机輪“額尔齐斯”号的工作經驗 | 56 |
| § 15. 北海海运局所屬船队的工作总结 | 62 |
| 附錄：具有切斷活塞体积水表的構造及工作原理 | 68 |

緒論

船舶的航行速度决定于表征发动机、推进器和船体互相配合的綜合數值。

增加船舶航行速度的方法有如下几种：以更有效的螺旋槳替換不合理的螺旋槳；裝置噴管及裝置導流環等，即提高推進器的推進性能。但是通常推進器的更換未必需要。在推進器是合理的情況下，增加发动机的功率乃是提高船舶航行速度的唯一有效方法。尤其是在更換推進器時必需注意发动机和推進器的完全配合，也就是說推進器應該安置得當发动机在使用功率最大的情況下能够保證船舶最高的航速。

为了增加蒸汽机的有效功率，目前采用三种主要方法：1)提高蒸汽初压；2)改善真空度；3)增大高压汽缸的充汽度。

最后的这个方法可能被应用得特別广泛，它不要求任何巨大的花费来对蒸汽动力装置的个别部件进行改装。

但是这个方法并非在任何情况下都是完全可行的，因为在蒸汽机中由于蒸汽膨胀程度的减小而大大地提高了蒸汽的单位耗量，从而也增加燃料消耗。此外，在船用蒸汽锅炉的蒸汽生产量不足的情况下，也不可能采用这个方法。

近年来在北海海运局采用調節高压汽缸以后各汽缸适当的充汽使蒸汽机达到最大功率的方法获得了广泛推行。这个方法主要是利用高压汽缸以后各汽缸的充汽度对蒸汽机总功率及其工作經濟性的影响。用这个方法調節蒸汽机使有可能提高机器的功率，同时又能降低蒸汽的单位耗量。

蒸汽机輪“斯捷潘·哈尔图林”号船員——运用新方法調節蒸汽机的創始者——的創舉已經获得了苏联許多其他船舶船員的支持。

由于采用了这个新方法，北海海运局有75%以上的船舶已經达到了

設計功率，其中有 25 % 經常超過設計功率的 8 % 以上。同時船舶動力裝置工作的經濟性也提高了 6 ~ 12 %。

本書中除闡述有關船舶動力裝置現代化的經驗之外，同時特別注意運用調節蒸汽機的新方法，在嚴格遵守技術操作規程的條件下保證機器工作經濟性的大大地提高。

第一章 用合理調節的方法提高蒸汽机功率

§1 蒸汽机的热损失及其相对指示效率

为了分析热的损失并鑑別它在蒸汽机的工作过程，通常是将工作过程与使能极度利用蒸汽热力的完全膨胀的标准理論过程（郎肯循环）相比較。这种理論过程乃是理想机器的示功图。

理想的机器与实际的不同。在理想的机器中，假如进入机器的新鮮蒸汽全部被利用来工作，即机器在工作中沒有損失。它所具有的唯一損失，就是乏汽进入冷凝器中的热损失。

在实际的机器中却有一系列的其他損失，損失的大小决定于該蒸汽机的工作条件和結構特点。这些損失是由于进汽和排汽时蒸汽的节流、蒸汽不完全膨胀、蒸汽与汽缸壁之間的热交换、漏汽、有害空間和蒸汽压缩的存在，以及提早进汽和提早排汽。因此，如果在蒸汽完全膨胀的理論過程的示功图ABCD中繪出实际机器的示功图1 2 3 4，那么这两个图的面积差数表示着在实际机器中工作热损失的总和（图1）。

示功图1 2 3 4的面积与蒸汽完全膨胀的理論過程示功图ABCD的面积之比值，称为相对指示效率，用 η_{oi} 表示。由这个比值可以看出：相对指示效率判断出在实际的机器中与理想机器对比下蒸汽的利用完全程度，即表示实际机器工作的經濟性。通常它是借热降來計算的，也等于在机器中被利用的或指示的热降对分配絕热热降的比例。

各別汽缸的相对指示效率按下列公式計算：

$$\eta_{oig} = \frac{h_{ig}}{h_{ag}} = \frac{i_1 - i_2}{i_1 - i'_2},$$

式中： i_1 ——进入汽缸前蒸汽的焓，仟卡/公斤；

i_2 ——汽缸出口处乏汽的焓，仟卡/公斤；

i'_2 —— 蒸汽绝热膨胀至排气压力时终点的焓，仟卡/公斤；

$h_{au} = i_1 - i'_2$ —— 分配绝热焓降，仟卡/公斤；

$h_{iu} = i_1 - i_2$ —— 有用焓降或者指示焓降，仟卡/公斤。

多胀式蒸汽机的相对指示效率由下式决定

$$\eta_{oiM} = \frac{\Sigma h_{iu}}{i_1 - i'_2} = \frac{H_i}{H_a}$$

式中： $H_i = \Sigma h_{iu}$ —— 蒸汽机的有用的或指示焓降等于各汽缸指示焓降之和，仟卡/公斤；

$H_a = i_1 - i_2$ —— 整个蒸汽机的绝热焓降；仟卡/公斤。

在实际工作条件下，进行

热工试验时相对指示效率按下列公式计算：

对于各个蒸汽机为

$$\eta_{oiM} = \frac{632}{d_i H_a};$$

对于各个汽缸为

$$\eta_{oiM} = \frac{632}{d_i h_{au}} \cdot \frac{N_{iu}}{N_{iM}}$$

式中： H_a 及 h_{au} —— 相应地为

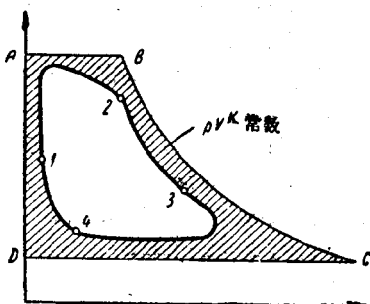


图1 蒸汽机中理论过程与实际过程图

由 I - S 图所确定的整个机器的绝热焓降和各个汽缸的绝热焓降，仟卡/公斤；

N_{iM} 及 N_{iu} —— 相应地为机器的指示功率及各个汽缸的指示功率，指示马力；

d_i —— 蒸汽消耗率，公斤/指示马力·小时。

为了决定各汽缸的焓降，需要在 I - S 座标轴上绘制工作图，因此，必须知道每个汽缸中过程的终点，此点同时也是后一气缸中过程

的始点。这些点按下述方法确定：由过程始点，即对应于高压汽缸滑阀室中的蒸汽参数作垂线与对应于中压汽缸容汽器的、由试验时所决定的等压线相交。垂线长度等于汽缸中绝热焓降值 h_a 。

相应于高压汽缸中1公斤蒸汽所作的功的指示焓降值，不等于由此始点所作的垂线上，用 h_i 表示之。

此值由下列公式决定：

$$h_i = \frac{632}{d_i} \cdot \frac{N_{i\alpha}}{N_{i\infty}}$$

式中： $N_{i\alpha}$ 及 $N_{i\infty}$ 值由试验结果求得。

由此得到的点作平行线与相应于中压汽缸容汽器的等压线相交；平行线与等压线的交点就是高压汽缸中过程的终点，也就是中压汽缸中过程的始点。

对于中压汽缸和低压汽缸的过程的绘制，用类似方法进行。

例题：在蒸汽机拖轮“沃尔纳”号主机进行试验时，得到如下的结果：

- 1) 高压汽缸前蒸汽的参数：压力 $P_0 = 15.4$ 公斤/公分²，温度 $t_B = 240^\circ C$ ；
- 2) 容汽器中的压力：中压汽缸—— $P_\alpha = 5.14$ 公斤/公分²，低压汽缸—— $P_\infty = 0.155$ 公斤/公分²，由低压汽缸中排出时的压力 $P_r = 0.20$ 绝对大气压；
- 3) 蒸汽消耗率 $d_i = 6.11$ 公斤/指示马力·小时；
- 4) 蒸汽机功率 $N_{i\alpha} = 708$ 指示马力，高压汽缸功率 $N_{i\theta} = 246$ 指示马力，中压汽缸功率 $N_{ic} = 222$ 指示马力，低压汽缸功率 $N_{i\infty} = 240$ 指示马力。

需要确定整个机器的相对指示效率及各汽缸的相对指示效率。

各汽缸的绝热焓降与整个机器的绝热焓降按I-S图用过程图解法决定。

所研究的机器，绝热焓降等于：整个机器—— $N_a = 169.4$ 仟卡/公斤；高压汽缸—— $h_{a\theta} = 47.8$ 仟卡/公斤，中压汽缸—— $h_{ac} = 59.8$ 仟卡/公斤，低压汽缸—— $h_{a\infty} = 70.4$ 仟卡/公斤。

将这些数值代入前面的公式，则求得：

高压汽缸的相对指示效率 $\eta_{oi\theta}$

$$\eta_{oi\theta} = \frac{632}{d_i \cdot h_{a\theta}} \cdot \frac{N_{i\theta}}{N_{i\alpha}} = \frac{632}{6.11 \times 47.8} \cdot \frac{246}{708} = 0.75;$$

中压汽缸的相对指示效率 η_{oiC}

$$\eta_{oiC} = \frac{632}{d_i \cdot h_{ac}} \cdot \frac{N_{ic}}{N_{i\alpha}} = \frac{632}{6.11 \times 59.8} \cdot \frac{222}{708} = 0.541;$$

低压汽缸的相对指示效率 $\eta_{oi,4}$

$$\eta_{oi,4} = \frac{632}{d_i \cdot h_{cu}} \cdot \frac{N_{i,4}}{N_{i,4}} = \frac{632}{6.11 \times 70.4} \cdot \frac{240}{708} = 0.499;$$

蒸汽机的相对指示效率 $\eta_{oi,4}$

$$\eta_{oi,4} = \frac{632}{d_i H_a} = \frac{632}{6.11 \times 169.4} = 0.610$$

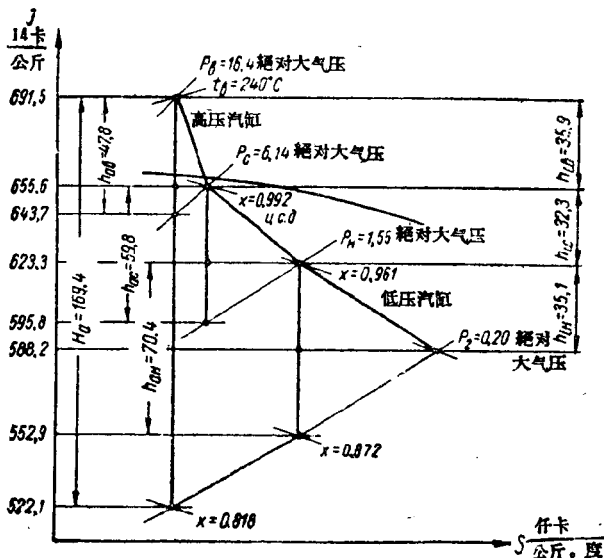


图2 蒸汽机拖轮“沃尔纳”号主机的蒸汽工作过程

图2是上例中所述的工况下在 I-S 座标上繪制的蒸汽机拖輪“沃尔納”号主机假定的蒸汽工作过程。当繪制汽缸中分配焓降 h_{au} 的过程时，取进汽时容汽器中蒸汽平均状态与排至相繼容汽器时平均压力之間的絕热焓降，即蒸汽自容汽器流出及排汽时蒸汽压力的損失不予計算。这些損失很难确定，而且它们的数值通常沒有实际意义。蒸汽机工作的經濟在极大的程度上表現为蒸汽消耗率，同时在蒸汽机的相对指示效率的决定上也沒有特別必要。通常对于每个汽缸相对指示效率最有关系的并

不是它的绝对数值，而是蒸汽机在各种不同工况时它的变化特性。

高压汽缸的相对指示效率的数值比較中压汽缸和低压汽缸的相对指示效率的数值大得多。这就说明了中压汽缸和低压汽缸是在較低的蒸汽初参数和湿蒸汽条件下工作的，因此，由于热交换而有相当大的损失。此外，这些汽缸，特別是低压汽缸，由于蒸汽不完全膨胀具有很大的损失。

§2 蒸汽机中各项损失的相互影响

实际蒸汽机中各项热损失彼此有着密切联系，而且互相影响。例如，为了抵消蒸汽机前进运动部件在越过死点时的惯性力，采用压汽的方法，但这样就消耗了一部分的分配功。压汽损失的功，决定于蒸汽机的构造特点，大約为3~10%，而对某些高速蒸汽蒸汽机则达到很大的数值。但是由压汽而引起的损失并不完全损失，因为压汽的存在可以减少新蒸汽为填充有害空间的消耗量。此外，压汽在进汽开始的瞬间引起汽缸壁温度的升高，从而减少热交换的损失。压汽的存在也促使由于蒸汽不完全膨胀损失的一定程度的降低。

随着压缩度的提高，压缩所耗費的功因之增加，而有害空间、蒸汽不完全膨胀和热交换所引起的损失却减小了。因此，必需这样来选择压缩度，即在保証蒸汽机充分稳定性的工作情况下，使上述各项损失的总和为最小。蒸汽不完全膨胀的损失与排汽时压力的损失，以及蒸汽和汽缸壁間热交换的损失有密切的关系。蒸汽不完全膨胀损失減小了后二项损失。

蒸汽膨胀不完全是由于汽缸的有限的容积（比較理想蒸汽机汽缸的容积为小），所以其有害表面使得热交换的损失減小，从而提高了汽缸壁的平均溫度并且因此減小了新蒸汽与汽缸壁之間的溫度差。

热交换损失与在周围介质中的损失同样地有着密切的关系。例如，当汽缸不充分隔热时会使在周围介质中的损失增大，这将导致汽缸壁溫度降低，蒸汽与汽缸壁之間的溫度差增长，也就是热交换的损失增大的原因。

提早排汽的损失将减小排汽时压力的损失，因为在开始排汽至活塞移到死点的期间内将促成很大的压力降，結果，在这个期间內大部分的

蒸汽流入容汽器中或冷凝器中，同时活塞反行程时在排汽期間內排汽量減小了。

隨着蒸汽膨脹度的減小，即汽缸充汽度的增大，蒸汽不完全膨脹的損失因之增大，而漏汽損失的相對數值却減小了。

這樣一來，各種熱損失由於其互相關的依賴性和各種因素的影響，也將決定無論在數量方面或質量方面蒸汽機中過程的進行情況。

§3 高壓汽缸以後各汽缸的充汽度對於機器 總功率及其工作經濟性的影响

過去人們認為高壓汽缸以後各汽缸充汽度的大小僅對蒸汽機各汽缸的功率的分配有所影響，而對於蒸汽機的總功率及其工作經濟性是沒有影響的。這是從研究綜合理論圖得出的結論沒有計及多脰式實際蒸汽機中的熱損失。

如果研究蒸汽機的過程時考慮到熱損失那就不難相信：在高壓汽缸充汽度保持不變，以及高壓汽缸前的壓力和冷凝器中真空度不變的情況下，中壓汽缸和低壓汽缸充汽度的改變不僅會引起各汽缸功率的重新分配，而且會引起機器總功率及機器工作經濟性的變化。

事實上，假如中壓汽缸的充汽度提高了，那麼中壓汽缸容汽器中的壓力就會減小，以致使高壓汽缸排汽壓力以及蒸汽始點壓力和終點壓力降低。

由於蒸汽壓力的降低，在有害空間中的蒸氣量就減小，因此在活塞每一冲程中為填充有害空間而消耗的新蒸氣增大了。

排汽壓力和蒸汽終點壓力的降低使得高壓汽缸壁溫度降低，從而也增大進汽與汽缸壁之間的溫度差。

蒸汽與汽缸壁之間溫度差的增大，以及進汽與排汽壓力差的增大，相應地引起熱交換損失和漏汽損失的增加，這樣就引起了為補償這些損失的新蒸氣的附加消耗量。

由此可見，隨著中壓汽缸充汽的增大，新蒸氣的消耗量也就增加了。而這一增大無論是為填充有害空間容積發生增加的耗汽或者是為補償熱交換和漏汽損失發生附加耗汽，都是由於他們的絕對值增長的緣

故。

上面所研究的关系反映出中压汽缸充汽度对数量方面的影响，即它对蒸汽总消耗量的影响，但是也必需讲到对质量方面的影响，即中压汽缸充汽度对于进入蒸汽机中新蒸汽的完全利用程度的影响。

这样，随着中压汽缸充汽度的增大，除了在高压汽缸由于热交换和漏汽损失的绝对值增加以外，将有蒸汽不完全膨胀、有害空间及提早排气损失的增加，同时排气损失却减少了。但是与损失的绝对值增加的同时，高压汽缸的分配焓降也将增大（由于排气压力降低），以致使汽缸中各项损失总和的相对数值保持不变或仅稍微增加一点。损失的数值不仅高压汽缸中改变，而中压汽缸也同样由于充汽度的增大而蒸汽分配的所有因素也都被改变。例如，由于蒸汽压缩度的减小，则蒸汽压缩损失也减小了，同时却使排气时压力损失因之提高。进汽压力降低和排气压力提高将使进汽和排气压力减小，也就是蒸汽与汽缸之间的温度差减小，以致同样地使得漏汽损失和热交换损失降低。由于排气压力提高，蒸汽不完全膨胀损失将被减小。总之，中压汽缸各项损失的总值（无论绝对数值和相对数值）都会发生变化，而变化的大小和趋向，将决定于各项损失的相互影响。对于大多数的蒸汽机来说，其热损失的总数是降低的。

提高中压汽缸的排气压力，将相应地引起低压汽缸进汽压力的提高，并在低压汽缸中引起热损失的微小变化。

当减小中压汽缸充汽度时，蒸汽消耗量和热损失的变化是与上面所叙述的情况相反的。

在三胀式蒸汽机中，低压汽缸的充汽度也可以改变，并且也会引起低压汽缸的某一些损失减小而另一些损失增大，如上面所谈到的中压汽缸损失的变化情况相同。

由此可见，当高压汽缸后各汽缸的充汽度改变时，则过程无论在数量方面和质量方面都不相同。

我们现在来分析蒸汽机指示功率的公式：

$$N_{i,M} = \frac{H_a \cdot \eta_{oi,i,M} \cdot D}{632.3} \text{ 指示马力,}$$

式中： H_a ——绝对焓降，仟卡/公斤；

$\eta_{oi:n}$ ——蒸汽相对指示效率;

D ——蒸汽机的蒸汽总消耗量, 公斤/小时;

由分析中可以清楚地看出: 当蒸汽机进汽和排汽时的蒸汽参数不变的情况下, 绝热降 H_a 保持不变, 而随着高压汽缸后各汽缸充汽度的改变, 则蒸汽总消耗量 D 和相对指示效率 $\eta_{oi:n}$ 必定发生变化。无论是由于蒸汽总消耗量 D 改变, 或者由于相对指示效率 $\eta_{oi:n}$ 变化, 蒸汽机的功率总会发生变化。

为了分析高压汽缸后各汽缸充汽度对蒸汽机工作的影响, 我们现在来研究蒸汽机拖轮“沃尔纳”号主机详细的热工试验的数据作为例子。

蒸汽机拖轮“沃尔纳”号

主机的主要数据

类型:三胀式, 具有由低压汽缸的曲柄驱动的单偏心轮滑阀传动机架

设计功率 $N_{i:n} = 800$ 指示马力

转数(设计转数) $n = 140$ 转/分

蒸汽参数 $P_k = 16$ 公斤/公分²

温度 $t_{nn} = 780^\circ C$

蒸汽机拖轮“沃尔纳”号主机在高压汽缸充汽度 $\epsilon_{2B} = 43\%$ 保持不变而中压汽缸和低压汽缸充汽度不定的情况下, 进行试验的结果列于表1。

为了建立不同的充汽度, 传动轴曲柄的调节架划分成四等份, 这样就可以将中压汽缸和低压汽缸的充汽确立为五个位置, 其中一个位置相当于最小的充汽度, 另一个位置相当于最大的充汽度, 其余三个位置相当于中间值。为了表明中压汽缸与低压汽缸充汽度的相互影响, 在低压汽缸传动装置的滑块五个位置中的每一位置的情况下, 中压汽缸滑块相应地安置在五个位置上。结果, 从表1中可以明显地看出, 由于高压汽缸以后各汽缸充汽度不同, 共得出了25种工况。例如, 工况1~5相当于低压汽缸最小的充汽度和中压汽缸由最小至最大的各个不同充汽度。其次在工况6~10中, 低压汽缸的充汽度较工况1~5时稍大, 但也固定不变, 而中压汽缸的充汽度与前面所进行五种工况一样被改变着。

| 工 况 | 压力, 公斤/公分 ² | | | | 温度 °C | | | 軸 轉 數, 轉/分 | 功率, 指示馬力 | | | | | |
|--------|------------------------|------------------|------------------|------------------|--------|--------------------------------------|----------------------------|---------------------|------------------|------------------|------------------|----------------------------|-----------------|----|
| | 鍋 爐 蒸 汽 | 高 壓 汽 缸 | 中 壓 汽 缸 | 低 壓 汽 缸 | 凝 水 | 第 一 級 熱 器 後 給 水 | 蒸 汽 机 前 給 水 | | 高 壓 汽 缸 | 中 壓 汽 缸 | 低 壓 汽 缸 | 蒸 汽 机 總 功 率 | | |
| | P _K | P _B | P _C | P _H | W | t _K | t _{nθ} | t _{nn} | n | N _{iθ} | N _{ic} | N _{in} | N _{is} | |
| | 1 | 2 | 3 | 4 | 5 | 6 | 7 | 8 | 9 | 10 | 11 | 12 | 13 | 14 |
| 1 | 15.9 | 15.4 | 5.14 | 0.55 | 660 | 43 | 130 | 240 | 127.0 | 246 | 222 | 240 | 708 | |
| 2 | 16.0 | 15.4 | 4.72 | 0.59 | 660 | 45 | 132 | 243 | 129.2 | 268 | 224 | 257 | 749 | |
| 3 | 16.0 | 15.4 | 4.31 | 0.63 | 660 | 44 | 131 | 245 | 131.5 | 290 | 226 | 278 | 794 | |
| 4 | 15.9 | 15.3 | 4.00 | 0.66 | 660 | 43 | 128 | 245 | 133.5 | 311 | 226 | 292 | 829 | |
| 5 | 16.0 | 15.4 | 3.80 | 0.70 | 660 | 45 | 129 | 243 | 134.7 | 322 | 220 | 303 | 845 | |
| 6 | 15.9 | 15.4 | 5.08 | 0.28 | 660 | 43 | 131 | 240 | 126.7 | 252 | 228 | 225 | 705 | |
| 7 | 16.0 | 15.4 | 4.60 | 0.31 | 660 | 43 | 132 | 245 | 128.0 | 271 | 234 | 242 | 747 | |
| 8 | 15.9 | 15.3 | 4.20 | 0.35 | 660 | 43 | 127 | 245 | 131.1 | 295 | 238 | 257 | 790 | |
| 9 | 15.8 | 15.3 | 3.90 | 0.38 | 660 | 37 | 117 | 247 | 133.0 | 315 | 239 | 271 | 825 | |
| 10 | 16.0 | 15.3 | 3.70 | 0.42 | 660 | 40 | 120 | 242 | 134.4 | 332 | 234 | 284 | 850 | |
| 11 | 15.8 | 15.3 | 4.92 | 0.13 | 660 | 50 | 130 | 245 | 126.3 | 248 | 244 | 210 | 702 | |
| 12 | 15.9 | 15.4 | 4.50 | 0.17 | 660 | 40 | 120 | 245 | 128.6 | 274 | 244 | 224 | 742 | |
| 13 | 15.8 | 15.3 | 4.10 | 0.20 | 660 | 51 | 129 | 247 | 130.5 | 298 | 246 | 240 | 787 | |
| 14 | 15.7 | 15.2 | 3.80 | 0.25 | 655 | 52 | 126 | 241 | 132.4 | 317 | 246 | 259 | 822 | |
| 15 | 16.0 | 15.4 | 3.60 | 0.28 | 660 | 43 | 122 | 245 | 133.9 | 334 | 243 | 268 | 845 | |
| 16 | 15.7 | 15.3 | 4.90 | 0.05 | 670 | 36 | 123 | 244 | 125.9 | 242 | 250 | 197 | 699 | |
| 17 | 15.9 | 15.4 | 4.40 | 0.08 | 670 | 41 | 122 | 240 | 128.0 | 275 | 251 | 210 | 737 | |
| 18 | 16.0 | 15.4 | 4.00 | 0.12 | 670 | 51 | 133 | 243 | 130.0 | 298 | 254 | 227 | 779 | |
| 19 | 15.8 | 15.2 | 3.80 | 0.15 | 670 | 45 | 126 | 244 | 131.8 | 321 | 254 | 240 | 815 | |
| 20 | 16.0 | 15.3 | 3.60 | 0.18 | 660 | 51 | 127 | 244 | 133.3 | 334 | 256 | 248 | 838 | |
| 21 | 15.8 | 15.4 | 4.84 | 0.005 | 660 | 51 | 127 | 237 | 125.3 | 256 | 247 | 185 | 688 | |
| 22 | 16.0 | 15.4 | 4.40 | 0.05 | 670 | 52 | 136 | 238 | 127.5 | 277 | 253 | 197 | 727 | |
| 23 | 15.7 | 15.2 | 4.00 | 0.07 | 670 | 48 | 128 | 241 | 129.5 | 295 | 255 | 214 | 764 | |
| 24 | 15.7 | 15.2 | 3.72 | 0.10 | 670 | 49 | 127 | 244 | 131.1 | 315 | 256 | 229 | 801 | |
| 25 | 15.8 | 15.2 | 3.60 | 0.13 | 665 | 49 | 130 | 242 | 132.5 | 331 | 257 | 237 | 825 | |

表 1

| 主汽 机消 耗指 示汽 馬消 力耗 | 每小 时每 耗量 時蒸 | 率 每消 耗量 冲量 程 | 活蒸 塞汽 每消 耗量 中压 汽缸 | 充汽度， % | | 负荷，% | | 傳動裝置調節架上的 滑塊位置 | |
|----------------------------------|----------------------|--------------------------|----------------------------------|-----------------|------|------|------|-------------------|------|
| | | | | | | | | 最小 | 最大 |
| | | | | % | | | | 17.5 | 35.0 |
| D | di | gh | e _{2c} | e _{2n} | 高压汽缸 | 中压汽缸 | 低压汽缸 | 低压汽缸 | 中压汽缸 |
| 15 | 16 | 17 | 18 | 19 | 20 | 21 | 22 | 23 | 24 |
| 4320 | 6.11 | 0.2833 | 30.0 | 40.0 | 34.9 | 31.5 | 33.6 | | |
| 4410 | 5.89 | 0.2846 | 35.0 | 40.0 | 35.8 | 29.8 | 34.4 | | |
| 4540 | 5.73 | 0.2872 | 40.0 | 40.0 | 36.7 | 28.5 | 34.8 | | |
| 4665 | 5.63 | 0.2910 | 45.0 | 40.0 | 37.5 | 27.3 | 35.2 | | |
| 4765 | 5.58 | 0.2933 | 50.0 | 40.0 | 38.2 | 26.3 | 35.5 | | |
| 4310 | 6.11 | 0.2834 | 30.0 | 44.5 | 35.5 | 32.9 | 31.6 | | |
| 4380 | 5.86 | 0.2843 | 35.0 | 44.5 | 36.5 | 31.3 | 32.2 | | |
| 4510 | 5.72 | 0.2873 | 40.0 | 44.5 | 37.4 | 29.9 | 32.7 | | |
| 4650 | 5.63 | 0.2913 | 45.0 | 44.5 | 38.2 | 28.6 | 33.1 | | |
| 4745 | 5.58 | 0.2939 | 50.0 | 44.5 | 39.0 | 27.7 | 33.8 | | |
| 4300 | 6.12 | 0.2835 | 30.0 | 48.5 | 36.0 | 34.6 | 29.4 | | |
| 4380 | 5.87 | 0.2850 | 35.0 | 48.5 | 36.9 | 32.9 | 30.2 | | |
| 4500 | 5.72 | 0.2874 | 40.0 | 48.5 | 37.9 | 31.3 | 30.8 | | |
| 4630 | 5.63 | 0.2914 | 45.0 | 48.5 | 38.6 | 29.9 | 31.5 | | |
| 4720 | 5.58 | 0.2940 | 50.0 | 48.5 | 39.5 | 28.8 | 31.7 | | |
| 4300 | 6.15 | 0.2836 | 30.0 | 52.5 | 36.3 | 35.8 | 27.9 | | |
| 4380 | 5.94 | 0.2852 | 35.0 | 52.5 | 37.3 | 34.1 | 28.6 | | |
| 4486 | 5.76 | 0.2876 | 40.0 | 52.5 | 38.3 | 32.6 | 28.1 | | |
| 4620 | 5.65 | 0.2916 | 45.0 | 52.5 | 39.2 | 31.3 | 28.5 | | |
| 4710 | 5.61 | 0.2941 | 50.0 | 52.5 | 39.8 | 30.4 | 28.8 | | |
| 4262 | 6.26 | 0.2836 | 30.0 | 57.0 | 36.7 | 36.4 | 26.9 | | |
| 4370 | 6.01 | 0.2856 | 35.0 | 57.0 | 37.7 | 34.8 | 27.5 | | |
| 4472 | 5.85 | 0.2877 | 40.0 | 57.0 | 38.6 | 33.4 | 28.0 | | |
| 4594 | 5.74 | 0.2919 | 45.0 | 57.0 | 39.5 | 32.0 | 28.5 | | |
| 4680 | 5.67 | 0.2942 | 50.0 | 57.0 | 40.2 | 31.1 | 28.7 | | |

如此进行下去，直到工况 21~25 相当于低压汽缸的最大充汽度为止。中压汽缸的充汽度由 30% 改变到 50%，低压汽缸的充汽度由 40% 改变到 57%。在试验期间内，高压汽缸滑阀室中蒸汽参数及冷凝器中压力的变动是不大的。

蒸汽消耗量利用具有断出活塞的体积水表按冷凝水来确定（参看本書末附录）。同时在试验期间一只主冷凝器是专为一台主机工作的。

根据实验的数据绘出当传动装置调节架上的滑块由某一位置移至另一位置时，或者在相反的情况下，中压汽缸（见图 3）及低压汽缸（见图 4）在各种充汽度时蒸汽机工作的主要特性线。在绘制蒸汽机和汽缸的相对指示效率变化图表时，后者对每一工况按 § 1 中所示的公式确定之，它与绝热焓降、汽缸负荷及蒸汽消耗率有关系。绝热焓降根据 I-S 图确定。

由图 3 及图 4 可以看出如果中压汽缸的充汽度 Σ_{2c} 提高时，则中压汽缸容汽器中的压力 P_{pc} 急剧降低，而低压汽缸容汽器中的压力 P_{pa} 稍微增大；当低压汽缸充汽度 Σ_{2a} 提高时，低压汽缸容汽器中的压力更急剧地降低，同时中压汽缸容汽器中的压力有一些降低。容汽器中压力的改变乃是汽缸中压力和焓降改变的原因，这就结合着蒸汽分配的因素的改变，同时也与各项热损失之间存在着密切关系及互相影响，引起相对指示效率及蒸汽消耗率的变化。例如，由于中压汽缸充汽度 Σ_{2c} 的提高，高压汽缸的相对指示效率 $\eta_{oi, h}$ 将稍微降低，而中压汽缸的相对指示效率 $\eta_{oi, c}$ 则急剧提高；当中压汽缸充汽度自 $\Sigma_{2c} = 30\%$ 到 $\Sigma_{2c} = 43\%$ 时，低压汽缸的相对指示效率 $\eta_{oi, a}$ 增长着，而中压汽缸充汽度 Σ_{2c} 达到 50% 时，低压汽缸的相对指示效率几乎是固定不变。当中压汽缸充汽度 Σ_{2c} 在 45% 以下时，蒸汽机的相对指示效率 $\eta_{oi, a}$ 急剧增加，在 Σ_{2c} 超过 45% 以后，蒸汽机的相对指示效率就增长很少。相应地，当中压汽缸充汽度 Σ_{2c} 在 45% 以下时，蒸汽消耗率 d_i 也急剧地降低。低压汽缸充汽度 Σ_{2a} 的增大，伴随着各汽缸（除去低压汽缸外）的相对指示效率的降低。在这里可以看出，当低压汽缸充汽度 Σ_{2a} 在 46% 以下时，低压汽缸的效率有一些提高，然后则是降低。当低压汽缸充汽度 Σ_{2a} 在 48.5% 以下时，蒸汽机的相对指示效率 $\eta_{oi, a}$ 固定不变，然后则稍见降低；同样，